

Starkniederschlagshöhen und -spenden gemäß KOSTRA-DWD-2020

Rasterfeld 148095

(Zeile 148, Spalte 95)

Regenspende und Bemessungsniederschlagswerte in Abhängigkeit von Wiederkehrzeit T und Dauerstufe D

| Dauerstufe D | | Wiederkehrzeit T | | | | | | | | | | | | | | | | | |
|--------------|-----|------------------|------------|------|------------|------|------------|------|------------|------|------------|-------|------------|-------|------------|-------|------------|-------|------------|
| | | 1 a | | 2 a | | 3 a | | 5 a | | 10 a | | 20 a | | 30 a | | 50 a | | 100 a | |
| min | Std | mm | l / (s ha) | mm | l / (s ha) | mm | l / (s ha) | mm | l / (s ha) | mm | l / (s ha) | mm | l / (s ha) | mm | l / (s ha) | mm | l / (s ha) | mm | l / (s ha) |
| 5 | | 5,5 | 183,3 | 6,8 | 226,7 | 7,6 | 253,3 | 8,7 | 290,0 | 10,2 | 340,0 | 11,8 | 393,3 | 12,8 | 426,7 | 14,2 | 473,3 | 16,1 | 536,7 |
| 10 | | 7,8 | 130,0 | 9,7 | 161,7 | 10,8 | 180,0 | 12,3 | 205,0 | 14,5 | 241,7 | 16,7 | 278,3 | 18,2 | 303,3 | 20,1 | 335,0 | 22,9 | 381,7 |
| 15 | | 9,3 | 103,3 | 11,5 | 127,8 | 12,8 | 142,2 | 14,6 | 162,2 | 17,2 | 191,1 | 19,8 | 220,0 | 21,6 | 240,0 | 23,8 | 264,4 | 27,1 | 301,1 |
| 20 | | 10,3 | 85,8 | 12,8 | 106,7 | 14,3 | 119,2 | 16,3 | 135,8 | 19,1 | 159,2 | 22,1 | 184,2 | 24,0 | 200,0 | 26,6 | 221,7 | 30,2 | 251,7 |
| 30 | | 11,9 | 66,1 | 14,7 | 81,7 | 16,4 | 91,1 | 18,7 | 103,9 | 22,0 | 122,2 | 25,4 | 141,1 | 27,6 | 153,3 | 30,5 | 169,4 | 34,7 | 192,8 |
| 45 | | 13,5 | 50,0 | 16,6 | 61,5 | 18,6 | 68,9 | 21,2 | 78,5 | 24,9 | 92,2 | 28,8 | 106,7 | 31,3 | 115,9 | 34,6 | 128,1 | 39,4 | 145,9 |
| 60 | 1 | 14,6 | 40,6 | 18,1 | 50,3 | 20,3 | 56,4 | 23,1 | 64,2 | 27,1 | 75,3 | 31,3 | 86,9 | 34,1 | 94,7 | 37,7 | 104,7 | 42,8 | 118,9 |
| 90 | 1,5 | 16,4 | 30,4 | 20,3 | 37,6 | 22,7 | 42,0 | 25,9 | 48,0 | 30,4 | 56,3 | 35,1 | 65,0 | 38,2 | 70,7 | 42,2 | 78,1 | 48,0 | 88,9 |
| 120 | 2 | 17,7 | 24,6 | 21,9 | 30,4 | 24,5 | 34,0 | 27,9 | 38,8 | 32,9 | 45,7 | 37,9 | 52,6 | 41,3 | 57,4 | 45,6 | 63,3 | 51,8 | 71,9 |
| 180 | 3 | 19,7 | 18,2 | 24,4 | 22,6 | 27,3 | 25,3 | 31,1 | 28,8 | 36,5 | 33,8 | 42,2 | 39,1 | 45,9 | 42,5 | 50,7 | 46,9 | 57,7 | 53,4 |
| 240 | 4 | 21,2 | 14,7 | 26,3 | 18,3 | 29,4 | 20,4 | 33,5 | 23,3 | 39,3 | 27,3 | 45,4 | 31,5 | 49,4 | 34,3 | 54,6 | 37,9 | 62,1 | 43,1 |
| 360 | 6 | 23,5 | 10,9 | 29,1 | 13,5 | 32,5 | 15,0 | 37,1 | 17,2 | 43,6 | 20,2 | 50,3 | 23,3 | 54,7 | 25,3 | 60,5 | 28,0 | 68,8 | 31,9 |
| 540 | 9 | 26,0 | 8,0 | 32,2 | 9,9 | 36,0 | 11,1 | 41,0 | 12,7 | 48,2 | 14,9 | 55,7 | 17,2 | 60,6 | 18,7 | 67,0 | 20,7 | 76,1 | 23,5 |
| 720 | 12 | 28,0 | 6,5 | 34,6 | 8,0 | 38,7 | 9,0 | 44,1 | 10,2 | 51,8 | 12,0 | 59,8 | 13,8 | 65,0 | 15,0 | 71,9 | 16,6 | 81,7 | 18,9 |
| 1080 | 18 | 30,9 | 4,8 | 38,2 | 5,9 | 42,7 | 6,6 | 48,7 | 7,5 | 57,3 | 8,8 | 66,1 | 10,2 | 71,9 | 11,1 | 79,5 | 12,3 | 90,3 | 13,9 |
| 1440 | 24 | 33,2 | 3,8 | 41,0 | 4,7 | 45,9 | 5,3 | 52,3 | 6,1 | 61,5 | 7,1 | 70,9 | 8,2 | 77,2 | 8,9 | 85,3 | 9,9 | 97,0 | 11,2 |
| 2880 | 48 | 39,3 | 2,3 | 48,6 | 2,8 | 54,4 | 3,1 | 61,9 | 3,6 | 72,8 | 4,2 | 84,1 | 4,9 | 91,4 | 5,3 | 101,1 | 5,9 | 114,9 | 6,6 |
| 4320 | 72 | 43,4 | 1,7 | 53,7 | 2,1 | 60,0 | 2,3 | 68,4 | 2,6 | 80,4 | 3,1 | 92,8 | 3,6 | 101,0 | 3,9 | 111,6 | 4,3 | 126,9 | 4,9 |
| 5760 | 96 | 46,5 | 1,3 | 57,6 | 1,7 | 64,4 | 1,9 | 73,4 | 2,1 | 86,3 | 2,5 | 99,6 | 2,9 | 108,3 | 3,1 | 119,7 | 3,5 | 136,1 | 3,9 |
| 7200 | 120 | 49,2 | 1,1 | 60,8 | 1,4 | 68,0 | 1,6 | 77,5 | 1,8 | 91,1 | 2,1 | 105,2 | 2,4 | 114,4 | 2,6 | 126,4 | 2,9 | 143,7 | 3,3 |
| 8640 | 144 | 51,4 | 1,0 | 63,6 | 1,2 | 71,1 | 1,4 | 81,0 | 1,6 | 95,2 | 1,8 | 109,9 | 2,1 | 119,6 | 2,3 | 132,2 | 2,6 | 150,3 | 2,9 |
| 10080 | 168 | 53,4 | 0,9 | 66,0 | 1,1 | 73,8 | 1,2 | 84,1 | 1,4 | 98,9 | 1,6 | 114,2 | 1,9 | 124,2 | 2,1 | 137,3 | 2,3 | 156,0 | 2,6 |

Starkniederschlagshöhen und -spenden gemäß KOSTRA-DWD-2020

Rasterfeld 148095

(Zeile 148, Spalte 95)

Örtliche Unsicherheiten in Abhängigkeit von Wiederkehrzeit T und Dauerstufe D

| Dauerstufe D | | Wiederkehrzeit T | | | | | | | | |
|--------------|-----|------------------|-----|-----|-----|------|------|------|------|-------|
| | | 1 a | 2 a | 3 a | 5 a | 10 a | 20 a | 30 a | 50 a | 100 a |
| min | Std | ± % | ± % | ± % | ± % | ± % | ± % | ± % | ± % | ± % |
| 5 | | 11 | 11 | 11 | 11 | 11 | 11 | 12 | 12 | 12 |
| 10 | | 10 | 11 | 12 | 13 | 14 | 15 | 15 | 15 | 16 |
| 15 | | 11 | 13 | 14 | 15 | 16 | 17 | 17 | 18 | 19 |
| 20 | | 13 | 15 | 16 | 16 | 18 | 18 | 19 | 19 | 20 |
| 30 | | 14 | 16 | 17 | 18 | 19 | 20 | 20 | 21 | 22 |
| 45 | | 15 | 17 | 18 | 19 | 20 | 21 | 21 | 22 | 22 |
| 60 | 1 | 15 | 17 | 18 | 19 | 20 | 21 | 22 | 22 | 23 |
| 90 | 1,5 | 15 | 17 | 18 | 19 | 20 | 21 | 21 | 22 | 22 |
| 120 | 2 | 14 | 16 | 17 | 18 | 20 | 21 | 21 | 22 | 22 |
| 180 | 3 | 13 | 16 | 17 | 18 | 19 | 20 | 20 | 21 | 21 |
| 240 | 4 | 13 | 15 | 16 | 17 | 18 | 19 | 20 | 20 | 21 |
| 360 | 6 | 12 | 14 | 15 | 16 | 17 | 18 | 19 | 19 | 20 |
| 540 | 9 | 11 | 13 | 14 | 15 | 16 | 17 | 17 | 18 | 19 |
| 720 | 12 | 10 | 12 | 13 | 14 | 15 | 16 | 17 | 17 | 18 |
| 1080 | 18 | 10 | 12 | 12 | 13 | 14 | 15 | 16 | 16 | 17 |
| 1440 | 24 | 10 | 11 | 12 | 13 | 14 | 15 | 15 | 16 | 16 |
| 2880 | 48 | 9 | 10 | 11 | 12 | 13 | 13 | 14 | 14 | 15 |
| 4320 | 72 | 10 | 11 | 11 | 12 | 12 | 13 | 13 | 14 | 14 |
| 5760 | 96 | 10 | 11 | 11 | 12 | 12 | 13 | 13 | 13 | 14 |
| 7200 | 120 | 11 | 11 | 11 | 12 | 12 | 13 | 13 | 13 | 14 |
| 8640 | 144 | 11 | 11 | 12 | 12 | 12 | 13 | 13 | 13 | 14 |
| 10080 | 168 | 12 | 12 | 12 | 12 | 12 | 13 | 13 | 13 | 14 |

Parameter für abweichende T und D

Lokationsparameter ξ (Xi)

15,32897271

Skalenparameter α (Alpha)

5,04428223

Formparameter κ (Kappa)

-0,1

1. Koutsoyiannis-Parameter θ (Theta)

0,06098099

2. Koutsoyiannis-Parameter η (Eta)

0,75638866

Parameter für dauerstufenübergreifende Extremwertschätzung nach KOUTSOYIANNIS et al. 1998.

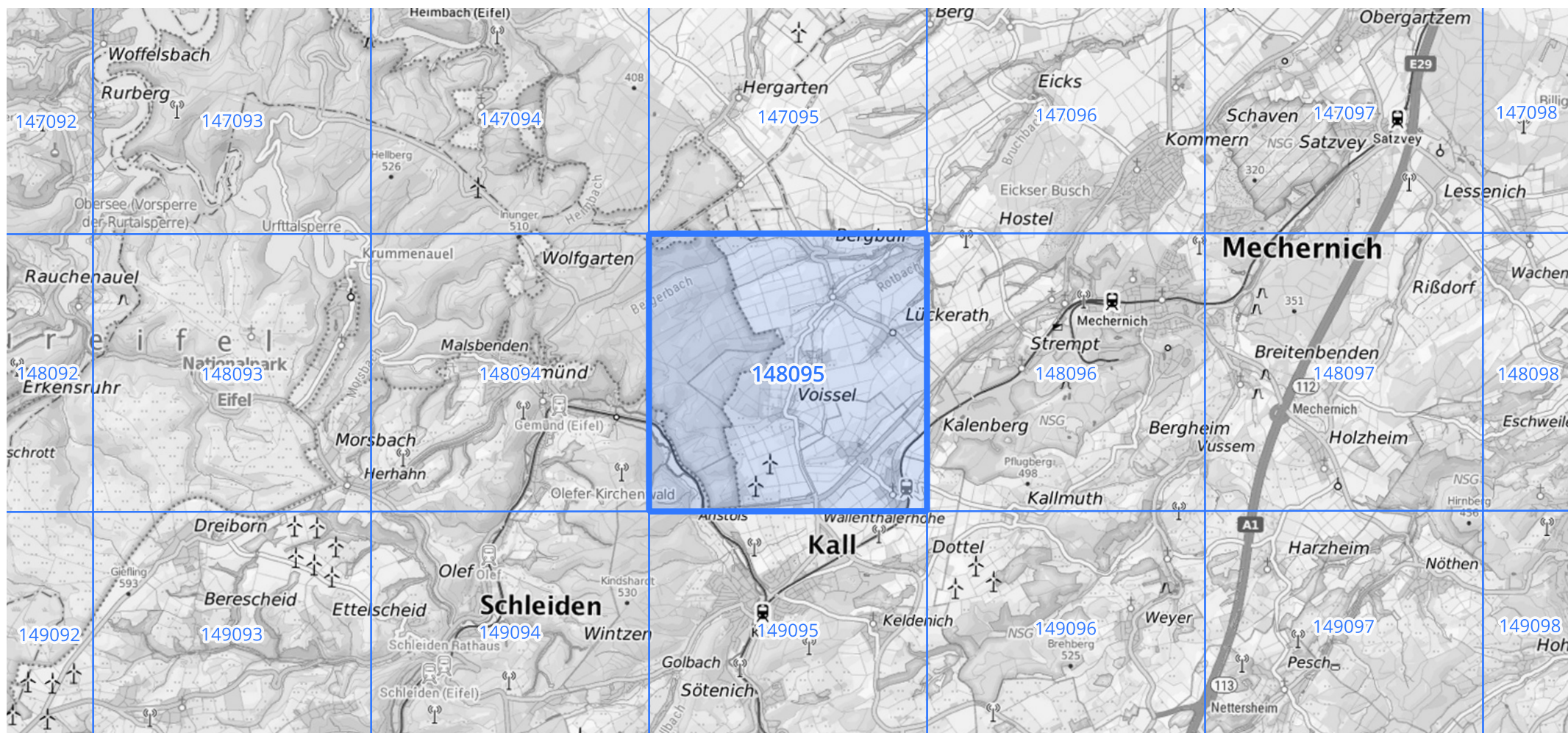
Siehe auch Anwendungshilfe zu KOSTRA-DWD-2020 des Deutschen Wetterdienstes.

Starkniederschlagshöhen und -spenden gemäß KOSTRA-DWD-2020

Rasterfeld 148095

(Zeile 148, Spalte 95)

Übersichtskarte des Rasterfeldes 148095, M 1 : 100 000



Quelle Rasterdaten: KOSTRA-DWD-2020 des Deutschen Wetterdienstes, Stand 12/2022.

Seite 3 von 3

Kartendarstellung: © Bundesamt für Kartographie und Geodäsie (2023), Datenquellen: https://sgx.geodatenzentrum.de/web_public/gdz/datenquellen/Datenquellen_TopPlusOpen.html

Für die Richtigkeit und Aktualität der Angaben wird keine Gewähr übernommen. Erstellt 01/2023.